

# Traitement du Signal

Pierre-Antoine Comby  
(d'après note de cours de M. Abbas Turkis)

# Table des matières

<b>1 Hypothèse de travail</b>	<b>2</b>
1.1 Généralités . . . . .	2
1.1.1 Caractérisation des signaux . . . . .	2
1.1.2 signaux déterministes . . . . .	2
1.2 Outils mathématiques . . . . .	2
<b>2 Énergie, Puissance et Corrélation</b>	<b>3</b>
2.1 Énergie et Puissance . . . . .	3
2.2 Concept de corrélation . . . . .	3
2.3 Auto-corrélation . . . . .	4
2.4 Inter-corrélation . . . . .	4
<b>3 Transformée de Fourier</b>	<b>4</b>
3.1 Analyse par décomposition orthogonale . . . . .	4
3.2 Fonction périodique : Série de Fourier . . . . .	5
3.3 Série de Fourier et distribution . . . . .	6
3.4 Passage de la SF à la TF . . . . .	7
3.5 Quelques propriété sur la TF . . . . .	7
3.6 TF et corrélation . . . . .	8
3.7 Résolution Spectrale . . . . .	8
<b>4 Échantillonnage et Transformée de Fourier à temps discret</b>	<b>9</b>
4.1 TF et TF à temps discret . . . . .	10
4.2 Théorème de Shannon . . . . .	11
4.3 Interpolation : Passage de TD vers TC . . . . .	11
4.3.1 Interpolation idéale . . . . .	11
4.3.2 Bloqueur d'ordre 0 (BOZ) . . . . .	11
4.3.3 Extrapolateur linéaire à retard pur . . . . .	12
<b>5 Transformée de Fourier discrète TFD</b>	<b>12</b>
5.1 Dualité . . . . .	13

# 1 Hypothèse de travail

## 1.1 Généralités

### Définition

**Signal** Grandeur fluctuante en fonction d'une ou plusieurs variable d'évolution (temps, espace) et qui contient de l'information.

**Signal déterministe** peut être reproduit à l'identique (ie détermination totale de l'information)

**Bruit** Partie du signal ne portant pas d'information.

### 1.1.1 Caractérisation des signaux

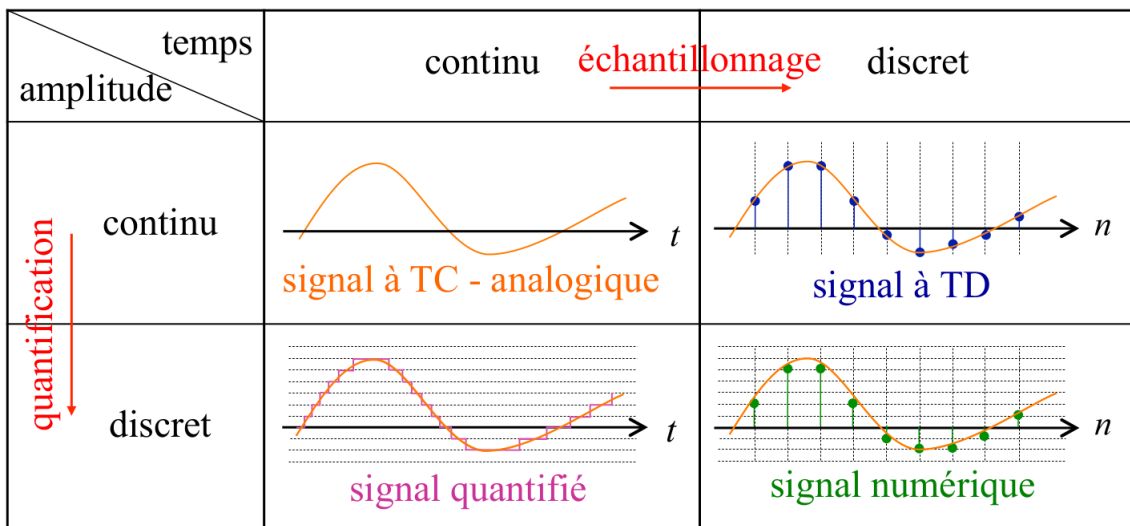


FIGURE 1 – Classification continu - discret

### 1.1.2 signaux déterministes

#### Proposition

**Causalité** signal nul pour  $t < 0$  ,  $x^*(t) = x(t).u_H(t)$

**Signal Sinusoïdal**  $x(t) = A \cos(2\pi ft + \varphi)$

**Sinusoïde discret**  $x_n = A \cos(\pi\nu_0 n + \varphi)$  avec  $\nu_0$  fréquence réduite  $\in [0, 1/2]$  plus grande variation possible ( changement de signe).

**Bruit**  $x(t) = s(t) + b(t)$  On définit le *Rapport signal bruit RSB* =  $\frac{P_{information}}{P_{bruit}}$  (en dB).

## 1.2 Outils mathématiques

**Espace des Signaux** Espace vectoriel muni d'un produit scalaire et d'une norme déduite du produit scalaire ( Espace de Banach)

**Produit Scalaire** définit la notion d'orthogonalité  $\langle x, y \rangle = 0 \Leftrightarrow x$  et  $y$  ne partage pas d'informations communes.

## 2 Énergie, Puissance et Corrélation

### 2.1 Énergie et Puissance

#### Définition

- Signal à puissance finie :

$$\mathcal{L}^\infty(\mathbb{R}) = \{x : \mathbb{R} \rightarrow \mathbb{R}, measurable/intégrable, \exists c, |x| < c\}$$

- Soit  $x \in \mathcal{L}^\infty(\mathbb{R})$

$$\mathcal{P} = \lim_{T \rightarrow +\infty} \frac{1}{2T} \int_{-T}^T |x(t)|^2 dt < c^2$$

est bien définie.

- Un signal  $x$  est à énergie finie si  $x \in \mathcal{L}^2$

**Remarque:** Si  $E = \infty$  et  $\|x\|_\infty < \infty$  alors  $x \in \mathcal{L}^\infty$  (ou  $\mathcal{L}_{loc}^2$ ).

#### Proposition

Les espaces des signaux à  $E < \infty$  ou  $P < \infty$  sont normés :

- $E < \infty$  :

$$\|x\| = \sqrt{\int_{\mathbb{R}} |x(t)|^2 dt}$$

- $P < \infty$  :

$$\|x\| = \sqrt{\lim_{T \rightarrow \infty} \frac{1}{2T} \int_{-T}^T |x(t)|^2 dt}$$

**Remarque:** différence entre  $\mathcal{L}^2$  et  $L^2$ .

### 2.2 Concept de corrélation

La corrélation est liée au produit scalaire (partage d'information où non)

#### Définition

Soit  $x, y$  à énergie finie :

$$\langle x, y \rangle = \int_{\mathbb{R}} x(t)y^*(t)dt$$

Pour des signaux à puissance finie:

$$\langle x, y \rangle = \lim_{T \rightarrow +\infty} \frac{1}{2T} \int_{-T}^T x(t)y^*(t)dt$$

**Remarque:** Dans le cas de signaux à temps discrets :

$$E < \infty : \langle x, y \rangle = \sum x_n y_n^*$$

$$P < \infty : \langle x, y \rangle = \lim_{k \rightarrow \infty} \frac{1}{2k+1} \sum_{n=-k}^k x_n y_n^*$$

## 2.3 Auto-corrélation

### Définition

- Pour des signaux à énergie finie:

$$\gamma_x(\tau) = \int_{\mathbb{R}} x(t)x^*(t-\tau)dt$$

- Dans le cas discret:

$$\gamma_{n_m} = \sum x_n x_{n-m}^*$$

L'autocorrélation représente la ressemblance avec le même signal décalé.

## 2.4 Inter-corrélation

### Définition

- Pour des signaux à énergie finie:

- continue :  $\gamma_{xy}(\tau) = \int_{\mathbb{R}} x(t)y^*(t-\tau)dt$

- discret :  $\gamma_{xy}(n) = \sum_{m \in \mathbb{Z}} x_m y_{m-n}$

- Pour des signaux à puissance finie et énergie infinie:

- continue  $\gamma_{xy}(\tau) = \lim_{T \rightarrow \infty} \frac{1}{2T} \int_{-T}^T x(t)y^*(t-\tau)dt$

- discret  $\gamma_{xy}(n) = \lim_{k \rightarrow \infty} \frac{1}{2K+1} \sum_{m=-K}^K x_m y_{m-n} y_{m-n}^*$

L'intercorrélation mesure la ressemblance entre 2 signaux en décalant l'un par rapport à l'autre et où la ressemblance maximale est donnée par  $\gamma_{xy} \leq \sqrt{\gamma_x(0)\gamma_y(0)}$

### Proposition

- $\gamma_x$  et  $\gamma_{xy}$  sont paires si  $x, y \in \mathbb{R}$
- Si  $x$  et  $y$  sont périodiques de même période  $\gamma_x$  et  $\gamma_{xy}$  le sont de même période.

## 3 Transformée de Fourier

### 3.1 Analyse par décomposition orthogonale

On se place dans un espace hilbertien (muni du produit scalaire) on peut approximer les fonctions par une famille de fonction  $g(t)_{n \in \mathbb{Z}}$  orthogonale.

Si cette famille est dense dans l'espace  $E < \infty$  ou  $P < \infty$  ou dans un sous-espace vectoriel de ces espaces. Alors on a convergence en norme ie :

$$\forall x \in L^2 : \left\| x - \sum_{n=-N}^N \frac{\langle x, g_n \rangle}{\langle g_n, g_n \rangle} g_n \right\|_2 \xrightarrow[N \rightarrow +\infty]{} 0$$

Si la converge est uniforme (en  $\| \cdot \|_\infty$ ) on a égalité et donc  $(g_n)$  est une base de l'espace hilbertien.

### 3.2 Fonction périodique : Série de Fourier

On considère ici l'espace des signaux périodiques de période  $T$  et d'énergie finie sur une période  $L^2_{[T]}$   
On le munit du produit scalaire :

$$\langle x, y \rangle = \int_{[T]} x(t) y^*(t) dt$$

**Remarque:** Pour les signaux périodiques bornés :

$$\lim_{\tau \rightarrow \infty} \frac{1}{2\tau} \int_{-\tau}^{\tau} x(t) dt = \frac{1}{T} \int_{[T]} x(t) dt$$

#### Définition

$\forall N \in \mathbb{N}$  on note  $\tau_N$  l'espace vectoriel engendré par la famille orthogonale  $\{e_n\}_{n \in \mathbb{N}}$  où :

$$e_n : \begin{cases} \mathbb{R} \longrightarrow \mathbb{C} \\ t \longmapsto e^{j2\pi nt/T} \end{cases}$$

#### Théorème

$\forall x \in L^2([T]), \exists ! S_n[x] \in \tau_n$  projection de  $x$  sur  $\tau_n$ . tel que :  $\|x - S_n[x]\|_2$  soit minimale, avec:

$$S_n[x] = \sum_{n=-N}^N \alpha_n e_n$$

$$\alpha_n = \frac{1}{T} \int_{[T]} e^{-j2\pi nt/T} dt$$

*Démonstration:*

$$\|x - S_n[x]\|_2^2 = \|x\|_2^2 + \|S_n\|_2^2 - 2\Re(\langle S_n[x], x \rangle)$$

Or  $\|S_n\|_2^2 = \sum_{n=-N}^N \alpha_n^2 \langle e_n, e_n \rangle$  et  $\langle S_n[x], x \rangle = \sum \alpha_n^* \langle e_n, e_n \rangle$  On pose :

$$\beta_n = \frac{\langle e_n, x \rangle}{\langle e_n, e_n \rangle} = \frac{\langle e_n, x \rangle}{T}$$

Alors :

$$\|x - S_n[x]\|_2^2 = \|x\|_2^2 + T \sum |\beta_n - \alpha_n|^2 - |\beta_n|^2$$

On a le minimum pour  $\alpha_n = \beta_n$ . Soit le coefficient de Fourier :

$$\alpha_n = \frac{1}{T} \int_{[T]} e^{-j2\pi nt/T} dt$$

### Proposition (*Égalité de Parseval*)

$$\sum |a_n|^2 = \frac{1}{T} \int |x(t)|^2 dt$$

**Remarque:** Avec cette égalité et le TCD on peut montrer que l'on a convergence de la série de Fourier en  $\|\cdot\|_1$  vers  $x$ . Peut-on avoir une convergence en norme  $\|\cdot\|_\infty$  (et donc égalité) ?

### **Théorème**

Soit la famille des fonctions T-périodique continues.

Alors les fonctions  $e_n = e^{j2\pi nt/T} \forall n \in \mathbb{Z}$  forment une base de cette famille.

$$x(t) = \sum_{\mathbb{Z}} \alpha_n e_n(t) \Leftrightarrow \sum |\alpha_n| < \infty$$

Avec:

$$\alpha_n = \frac{1}{T} \int_{[T]} e^{-j2\pi nt/T} dt$$

### Proposition

$$\text{si } x \in \mathcal{C}^k, k \geq 2 \text{ alors } \sum |\alpha_n| < \infty$$

*Démonstration:* IPP et majoration par norme infinie.

### 3.3 Série de Fourier et distribution

On fait la confusion de notation entre distribution et fonction.

### Proposition (*Discontinuité de première espèce*)

Pour une discontinuité de première espèce à l'instant  $t$  :  $x(t_-) \neq x(t_+)$ . Alors :

$$\frac{1}{2}(x(t_-) + x(t_+)) = \sum \alpha_n e_n(t)$$

Il y a création d'un phénomène oscillatoire autour de la discontinuité (phénomène de Gibbs).

### TF du Dirac

$\forall \varphi \in \mathcal{S}$ , on a :

$$\hat{\delta}(f) = \int \delta(t) e^{-j\pi ft} dt = 1$$

### Peigne de Dirac

C'est une distribution périodique :

$$\Pi_T(t) = \sum_{k \in \mathbb{Z}} \delta(t - kT)$$

### Proposition

Soit  $x \in L^1_{loc}$

$$x(t) \sum \delta(t - kT) \underset{dist}{=} \sum_{\mathbb{Z}} x(kT) \delta(t - kT)$$

Démonstration: passer par les bonnes fonctions.

### Proposition (Formule Sommatoire de Poisson)

$$\begin{aligned} \text{III} &= \sum_{k \in \mathbb{Z}} \delta(t - kT) \\ &= \frac{1}{T} \sum e^{j2\pi kt/T} \end{aligned}$$

Démonstration: Long et chiant.

### 3.4 Passage de la SF à la TF

On peut interpréter la Transformée de Fourier comme un passage à la limite (de la période) de la SF pour englober tous les signaux.

$$\begin{aligned} x(t) &= \sum_{\mathbb{Z}} \frac{\alpha_n T e^{j2\pi nt/T}}{T} \\ \alpha_n \cdot T &= \int_{[T]} x(t) e^{-j2\pi tF} \end{aligned}$$

en posant  $\frac{1}{T} = \Delta F$  et  $F = \frac{n}{T}$ . Alors pour  $F \xrightarrow[T \rightarrow +\infty]{} f$  et  $\Delta F \xrightarrow[T \rightarrow +\infty]{} df$

$$X(f) = \lim_{T \rightarrow +\infty} \alpha_n \cdot T = \int_{\mathbb{R}} x(t) e^{-j2\pi ft}$$

On définit ainsi la Transformée de Fourier pour les fonctions continues (et les distributions).

### 3.5 Quelques propriétés sur la TF

#### Proposition (relations fondamentales)

- $TF[T(ax)] = \frac{1}{|a|} \tilde{T}\left(\frac{\nu}{a}\right)$
- $TF[T(x - a)] = e^{-j2\pi\nu a} \tilde{T}(\nu)$
- $TF[e^{j2\pi\nu_0 x} T(x)] = \tilde{T}(\nu - \nu_0)$
- $TF[T^{(k)}(x)] = (j2\pi\nu)^k \tilde{T}(\nu)$
- $TF[\tilde{T}(x)] = T(-\nu)$
- $TF[S * T] = TF[S]TF[T]$

#### Proposition (parité)

$x(t)$ réel	$X(-f) = X^*(f)$ symétrie hermitienne
$x(t)$ réel paire	$X(f)$ réel paire
$x(t)$ réel impaire	$X(f)$ imaginaire pure et impaire

**Remarque:** – tout signal à une réalité temporelle et fréquentielle, liées par la TF. – La TF est bijective de  $L^2$  dans  $L^2$  (se montre avec l'égalité de Parseval).

### 3.6 TF et corrélation

#### Définition

On appelle densité spectrale d'énergie (DSE) de  $x$ :

$$\Gamma_x(f) = |X(f)|^2$$

→ Donne la répartition spectrale de l'information.

#### Proposition (*Théorème de Wiener Khintchine*)

$$\Gamma_x(f) = TF[\gamma_x(\tau)]$$

On a de plus pour les signaux à énergie finie :

$$\int_{\mathbb{R}} \Gamma_x(f) = \int_{\mathbb{R}} |x(t)|^2 = \mathcal{E}_x =$$

**Remarque:** Avec ce résultat, des signaux à support fréquentiels disjoints sont décorrélés.

**Exemple:** Tracés de Diagramme de Bode , Signal radio

#### Proposition

Pour des signaux à énergie infinie :

$$\Gamma_x(f) = \lim_{T \rightarrow \infty} \frac{|X(T)|^2}{2T} = TF[\gamma_x(t)]$$

Avec

$$X(T) = \int_{-T}^T x(t)e^{-j2\pi ft} dt$$

### 3.7 Résolution Spectrale

#### Hypothèse

- Soit  $x \in L^2$
- On définit le temps moyen

$$t_0 = \frac{\int tx^2(t)}{\int x^2(t)}$$

- On définit alors la durée moyenne :

$$\Delta T = \frac{\int (t - t_0)^2 x^2(t) dt}{\int x^2(t) dt}$$

- Le support spectral moyen :

$$\Delta f = \frac{\int f^2 |X(f)|^2 df}{\int |X(f)|^2 df}$$

**Remarque:** Avec  $x : \mathbb{R} \rightarrow \mathbb{R}$  on a la symétrie hermitienne et donc  $\int f X(f) df = 0$

#### Proposition (*Inégalité de Gabor*)

Si  $x(t)$  est dérivable et  $tx^2(t) \xrightarrow[t \rightarrow +\infty]{} 0$  , On a :

$$(\Delta t)^2 (\Delta f)^2 \geq \frac{1}{16\pi^2}$$

*Démonstration:* On montre le cas  $t_0 = 0$ , pour les autres on s'y ramène par translation. Soit :

$$I = \int_{\mathbb{R}} tx(t)x'(t)dt$$

Avec Cauchy-Schwarz :

$$I^2 \leq \int_R t^2 x^2(t)dt \cdot \int_{\mathbb{R}} x'^2(t)dt$$

Or :

$$I_{ipp} = \left[ \frac{tx^2(t)}{2} \right]_{-\infty}^{+\infty} - \frac{1}{2} \int_{\mathbb{R}} x^2(t)dt \Rightarrow I^2 = \frac{1}{4} E_x^2$$

Avec l'égalité de Parseval on a alors :

$$\int_{\mathbb{R}} x'^2(t)dt = 4\pi^2 \int_{\mathbb{R}} f^2 |X(f)|^2 df$$

On obtient alors

$$\int_R t^2 x^2(t)dt \int_{\mathbb{R}} f^2 |X(f)|^2 df \geq \left( \int_{\mathbb{R}} x^2(t)dt \right)^2$$

i.e

$$(\Delta t)^2 (\Delta f)^2 \geq \frac{1}{16\pi^2}$$

**Remarque:** On ne peut avoir de bonne précision temporelle et fréquentielle. Analogue au principe d'incertitude d'Heisenberg.

## 4 Échantillonnage et Transformée de Fourier à temps discret

La transformée de Fourier n'est pas réalisable numériquement, Il faut passer en temps discret.



### Définition

Un opérateur est dit *invariant* si :

$$\forall \tau \in \mathbb{R}, \exists n \in \mathbb{Z}, \text{ tel que } x(t - \tau) \text{ induit } y_{k-n}$$

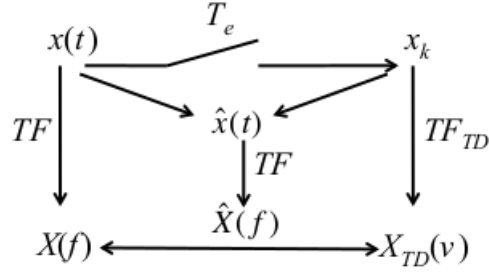
Où  $y_k$  est la sortie associé à  $x(t)$ .

### Proposition

L'échantillonage est un opérateur :

- Linéaire
- Invariant pour  $\tau = nT_e$ ,  $T_e$  étant la période d'échantillonage

## 4.1 TF et TF à temps discret



On pose :

$$\begin{aligned}
 \hat{x}(t) &= x(t) \sum \delta(t - kT_e) \\
 &= \sum x_k \delta(t - kT_e) \\
 \hat{X}(f) &= \int_{\mathbb{R}} \sum x_k \delta(t - kT_e) e^{-j2\pi f t} dt \\
 &= \sum \int_{\mathbb{R}} \delta(t - kT_e) e^{-j2\pi f t} dt \\
 &= \sum x_k e^{-j2\pi f k T_e} \\
 &= \sum x_k e^{-j2\pi \nu k}, \text{ Avec : } \nu = \frac{f}{F_e} = f T_e \\
 \text{TF}[\hat{x}] &= \text{TF}_{TD}[x_k]
 \end{aligned}$$

### Proposition (TF à TD)

Alors la transformée de Fourier à temps discret de x est :

$$X_{TD}(\nu) = \sum x_k e^{-j2\pi \nu k}$$

Elle s'écrit comme une série de Fourier, l'échantillonnage périodise le spectre.

**Remarque:** On définit la TF TD inverse comme :

$$\begin{aligned}
 x_k &= \int_{[1]} X_{TD}(\nu) e^{j2\pi \nu k} d\nu \\
 &= \frac{1}{T_e} \int_{[T_e]} X_{TD}(f/T_e) e^{-j2\pi f k / T_e} df
 \end{aligned}$$

De même :

$$\begin{aligned}
 \hat{X}(f) &= \int x(t) \sum_{\mathbb{Z}} \delta(t - kT_e) e^{-j2\pi f t} dt \\
 &= X(f) * \sum e^{-j2\pi f k / F_e} \\
 &= X(f) \frac{1}{T_e} \sum_{\mathbb{Z}} \delta(f - kF_e) \quad \text{formule sommatoire de Poisson} \\
 &= \frac{1}{T_e} \sum X(f - kF_e)
 \end{aligned}$$

Les échantillons de  $x_k$  sont aussi les coefficients de la série Fourier  $X_{TD}$

**Remarque:** Peut-on échantillonner  $x(t)$  sans perdre d'information ?

## 4.2 Théorème de Shannon

**Théorème**

Un signal à valeur dans  $\mathbb{R}$  et à support spectral fini  $[-f_{max}; f_{max}]$  est entièrement défini par ses valeurs régulièrement espacées de  $\frac{1}{F_e} = T_e$ . Pour :

$$\frac{F_e}{2} > f_{max}$$

**Remarque:**

- Suivant ce théorème l'espace des fonctions ayant un spectre  $\subset [-F_e/2, F_e/2]$  est un espace vectoriel où chaque élément est identifié à ses échantillons. Quelle est la base de cet espace ?
- En pratique le support fréquentiel n'est pas borné.
- pour réduire le recouvrement on passe donc par un filtre (antirepliement du spectre)
- 

## 4.3 Interpolation : Passage de TD vers TC

On rappelle que le produit dans l'espace de Fourier se traduit par une convolution dans l'espace des fonctions

$$x(t) = x_k * TF^{-1}[\text{porte}]$$

### 4.3.1 Interpolation idéale

On récupère la partie principale du spectre (centrée en 0, ne contenant pas les repliements)

$$X(f) = X_{TD}(f)P_{[F_e]}(f)$$

où  $P_{[F_e]}$  est une porte fréquentielle de largeur  $F_e$

$$\begin{aligned} x(t) &= TF^{-1}[X(f)] = TF^{-1}[X_{TD}(f)] * TF^{-1}[P_{F_e}(f)] \\ &= \sum x_k \delta(t - kT_e) * \text{sinc}(\pi F_e t) \\ &= \sum x_k \text{sinc}(\pi F_e (t - kT_e)) \end{aligned}$$

**Proposition**

La famille des sinc décalés est une famille génératrice de l'EV des signaux à support spectral borné (c'est même une base)

**Remarque:** L'interpolation idéale nécessite une série infinie et un support temporel infini, on a un problème de causalité. D'autres méthodes existent.

### 4.3.2 Bloqueur d'ordre 0 (BOZ)

**principe** : Maintenir la valeur  $x_k$  constante sur l'intervalle  $[kT_e; (k+1)T_e]$ , *fonction escalier*

$$\tilde{x}(t) = \sum x_k [u_H(t - kT_e) - u_H(t - (k+1)T_e)] = \sum x_k \delta(t - kT_e) * \underbrace{u_H(t) - u_H(t - T_e)}_{\text{filtre équivalent ?}}$$

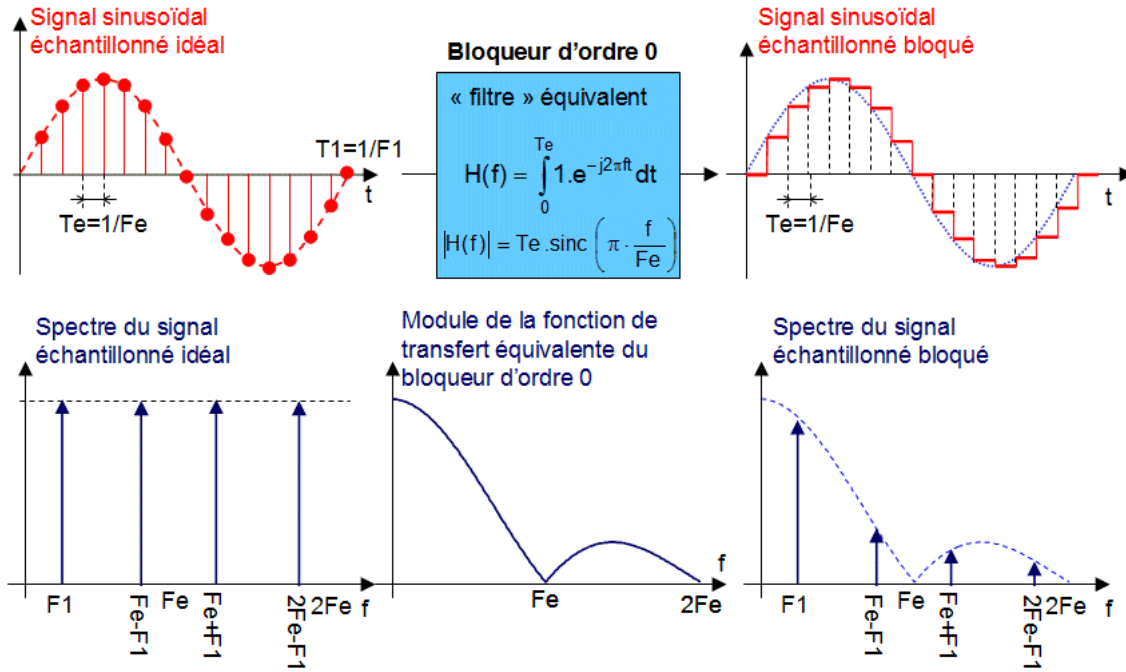


FIGURE 2 – Bloqueur d'ordre 0

### Analyse Fréquentielle

$$TF(u_H(t) - u_H(t - T_e)) = \frac{1}{j2\pi f} - \frac{e^{-j2\pi f T_e}}{j2\pi f} = \frac{e^{-j\pi f T_e} \sin(\pi f T_e)}{\pi f T_e} = \underbrace{e^{-j2\pi f T_e/2} \cdot T_e \text{sinc}(\pi f T_e)}_{\text{Remplace la fenêtre fréquentielle}}$$

**Remarque:** Pour améliorer l'interpolation, on centre la porte autour de  $kT_e$

#### 4.3.3 Extrapolateur linéaire à retard pur

**principe** Réalise une interpolation linéaire entre 2 échantillons

$$\tilde{x} = \left[ x_{k-1} + \frac{t - kT_e}{T_e} (x_k - x_{k-1}) \right] [u(t - kT_e) - u(t - (k+1)T_e)]$$

c'est visuellement mieux.

$$\begin{aligned} \tilde{x}(t) &= \sum x_k \delta(t - kT_e) * \left( \frac{t}{T_e} u(t) - \frac{2(t - T_e)}{T_e} u(t - T_e) + \frac{t - 2T_e}{T_e} y(t - 2T_e) \right) \\ \tilde{X}(f) &= X_{TD}(f) \cdot \frac{1}{T_e(j2\pi f)^2} - \frac{2}{T_e} \frac{e^{-j2\pi f T_e}}{(j2\pi f)^2} + \frac{e^{-j4\pi f T_e}}{(j2\pi f)^2} \\ &= T_e \underbrace{e^{-j2\pi f T_e}}_{\text{retard}} \underbrace{\text{sinc}^2(\pi f T_e)}_{\text{atténuation}} \end{aligned}$$

**Exemple:** Bloqueur d'ordre 1

## 5 Transformée de Fourier discrète TFD

- basé sur la TF à TD
- Grille fréquentielle  $[0; F_e[$
- Signaux à horizon fini, discréteisés.

Soit N le nombre de point équidistants sur  $[0, 1[$  pour le calcul de TF à TD

## 5.1 Dualité

**Preuve de la dualité** Comme pour le cas temporel, on utilise l'égalité entre les distributions On a au sens des distributions :

$$\begin{aligned}\hat{X}(\nu) &= \frac{1}{N} \sum_{k=0}^{N-1} X_{TD}\left(\frac{k}{N}\right) \delta(\nu - k/N) \\ &= \frac{1}{N} X_{TD}(\nu) \sum_{k=0}^{N-1} \delta(\nu - k/N)\end{aligned}$$

On a donc égalité pour les TFs inverses : Définition de la  $TFD^{-1}$

$$\begin{aligned}\hat{x}_i &= \frac{1}{N} \int_{[1]} \sum_{k=0}^{N-1} X_{TD}\left(\frac{k}{N}\right) \delta(\nu - k/N) e^{j2\pi i\nu} d\nu \\ &= \frac{1}{N} \sum_{k=0}^{N-1} X_{TD}\left(\frac{k}{N}\right) e^{j2\pi ki/N}\end{aligned}$$

On a l'expression d'une série de Fourier , donc les  $\hat{x}_i$  sont N-périodiques

### Proposition (TFD)

$$X(k) = \sum_{n=0}^{N-1} x(n) e^{-2i\pi k \frac{n}{N}} \text{ pour } 0 \leq k < N]$$

Et pour la transformée inverse :

$$x(n) = \frac{1}{N} \sum_{k=0}^{N-1} X(k) e^{2\pi i n \frac{k}{N}}$$

**Remarque:** pour analyser le spectre, et il peut être intéressant d'augmenter ce nombre de points d'analyse afin d'augmenter la précision spectrale (  $\delta F = F_e/N$  ; on peut : – Augmenter la fréquence d'échantillonnage. Mais cela a un coût en termes de ressources matérielles.

– Faire une interpolation. – complétion de zéros (en anglais zero-padding), qui consiste à compléter le signal s ( n ) s(n) par P zéros. Le nombre de points d'analyse est donc augmenté, mais le nombre de points de signal utile reste le même on obtient une TFD de période  $N + P$  au lieu de  $N$ . Merci Wikipédia, je dormais

**Remarque:** L'espace des fréquences et du signal temporel étant ici discréte et fini , on se ramène un simple changement de base , et donc un calcul matriciel.

$$\begin{pmatrix} f_0 \\ f_1 \\ f_2 \\ \vdots \\ f_{n-1} \end{pmatrix} = \begin{pmatrix} 1 & 1 & 1 & \dots & 1 \\ 1 & w & w^2 & \dots & w^{n-1} \\ 1 & w^2 & w^4 & \dots & w^{2(n-1)} \\ \vdots & \vdots & \vdots & \ddots & \vdots \\ 1 & w^{n-1} & w^{2(n-1)} & \dots & w^{(n-1)^2} \end{pmatrix} \begin{pmatrix} x_0 \\ x_1 \\ x_2 \\ \vdots \\ x_{n-1} \end{pmatrix}$$